

05.2; 09

© 1993

МАГНИТООПТИЧЕСКОЕ ИССЛЕДОВАНИЕ
КВАЗИСТАТИЧЕСКИХ ХАРАКТЕРИСТИК
ДОМЕННЫХ ГРАНИЦ В ФЕРРИТ-ГРАНАТОВЫХ ПЛЕНКАХ

Г.С. К р и н ч и к, Е.Е. Ч е п у р о в а,
М.В. С а н ъ к о

В последние годы существенно возросло количество работ в области физики магнитных доменов и доменных границ (ДГ), что обусловлено использованием этих магнитных элементов в системах магнитной памяти и обработки информации. Надежность разрабатываемых устройств зависит от динамических и квазистатических характеристик ДГ в используемых для этих целей материалах.

В данной работе представлены результаты исследования зависимостей амплитуды колебаний ДГ в висмут-содержащих феррит-гранатовых (ФГ) пленках от амплитуды и частоты поля смещения (f_{cm}), а также влияния на эти зависимости магнитного поля, ориентированного в плоскости образца параллельно $H_{z\parallel}$ и перпендикулярно $H_{z\perp}$ плоскости ДГ.

Измерения были выполнены на магнитооптическом микромагнетометре (созданном на базе микроскопа МИМ-8), подробно описанном в [1]. В работе использовалась динамическая методика регистрации магнитооптических сигналов, суть которой состоит в следующем. Под действием внешнего переменного магнитного поля (H_{cm}), приложенного параллельно оси легкого намагничивания (ОЛН) исследуемого образца, ДГ колеблется относительно положения равновесия. В этом случае магнитооптический сигнал δ отличен от нуля только в области смещения ДГ. Амплитуда смещения ДГ от положения равновесия при измерениях на первой гармонике определяется по полуширине на полувысоте кривой распределения $\delta(x)$ (x – направление движения ДГ).

Приведенные ниже результаты были получены с помощью эффекта Фарадея – δ_f . Зависимости $\delta_f(x)$ снимались на участках исследуемых образцов с полосовой доменной структурой. Входная щель ФЭУ имела вид узкой полоски, параллельной ДГ, размером (с учетом увеличения микроскопа) 0.25×3 мкм². Образцами служили эпитаксиальные висмутсодержащие $(LuBi)_3(FeGa)_5O_{12}$ и $(TmBi)_3(FeGa)_5O_{12}$ ФГ-пленки с ОЛН, перпендикулярной поверхности образцов; толщиной $t = 7-15$ мкм, $4\pi M_s \sim 100$ Гс.

На рис. 1, а приведены типичные для изучаемых ФГ-пленок зависимости $\delta_f(x)$. Кривая 1 была получена в поле смещения $H_{cm} = 14$ Э, $f_{cm} = 13$ Гц, кривые 2, 3 – соответственно при дополнительном включении планарного постоянного поля, перпендикулярного ДГ, $H_{z\perp} = +30$ Э и $H_{z\perp} = -30$ Э. Аналогичные изме-

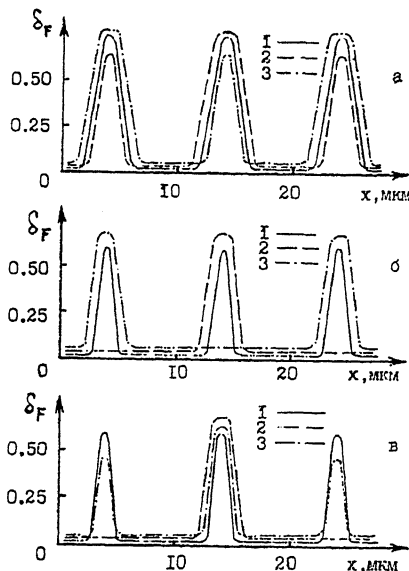


Рис. 1. Типичные зависимости эффекта Фарадея $\delta_F(x)$ (ось x перпендикулярна ориентации полосовых доменов) для изучаемых феррит-гранатовых пленок: а) кривая 1 - $H_{CM} = 14$ Э, $f_{CM} = 13$ Гц, 2 - дополнительное включение $H_{\tau\perp} = +30$ Э, 3 - $H_{\tau\perp} = -30$ Э; б) кривая 1 - $H_{CM} = 14$ Э, $f_{CM} = 1040$ Гц, 2 - дополнительное включение $H_{\tau\perp} = +30$ Э, 3 - $H_{\tau\perp} = -30$ Э; в) кривая 1 - $H_{CM} = 14$ Э, $f_{CM} = 1040$ Гц, 2 - дополнительное включение $H_{\tau\perp} = +30$ Э, 3 - $H_{\tau\perp} = +30$ Э, $H_{\tau\parallel} = 30$ Э, $f_{\tau\parallel} = 1$ кГц.

рения были выполнены при различных значениях f_{CM} (f_{CM} изменялось от 1 Гц до 10 кГц). Кривые распределения $\delta_F(x)$, полученные при $f_{CM} = 1040$ Гц, приведены на рис. 1, б. Из рисунков видно, что планарное поле $H_{\tau\perp}$ влияет на отношение амплитуд соседних границ. С ростом значения f_{CM} это влияние увеличивается. Более того, в случае $f_{CM} > 1$ кГц границы останавливаются через одну, причем смена полярности $H_{\tau\perp}$ приводит к остановке ранее качающихся ДГ и движению стоящих (рис. 1, б).

Дальнейшие исследования показали, что влияние планарного, постоянного магнитного поля, параллельного ДГ, $H_{\tau\parallel}$ на квазистатические свойства ДГ подобно $H_{\tau\perp}$, но в этом случае границы останавливаются через одну при больших значениях f_{CM} . Уменьшение амплитуды поля смещения сопровождается уменьшением значения f_{CM} , при котором этот эффект наблюдается.

Амплитуды колебаний соседних границ становились практически одинаковыми и близкими к исходным при движении ДГ в скрещенных планарных полях, одно из которых является переменным (с частотой $f_{\tau} > 1$ кГц). Наиболее ярко этот эффект проявлялся, если $H_{\tau\perp}$ было постоянным, а $H_{\tau\parallel}$ - переменным. Результаты таких измерений приведены на рис. 1, в.

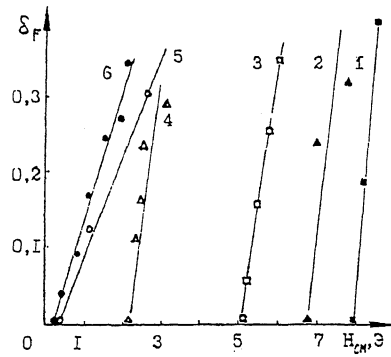


Рис. 2. Типичные зависимости $\delta_F (H_{cm})$ при различных значениях $H_{\gamma\parallel}$ ($f_{\gamma\parallel} = 1$ кГц) для двух соседних границ вблизи канавки: кривые 1–5 получены для стоящей ДГ соответственно при $H_{\gamma\parallel} = 30, 31.5, 33, 36, 42, 48$ Э; 6 – для качающейся ДГ при $H_{\gamma\parallel} = 0$.

Особого внимания заслуживают данные по изучению квазистатических характеристик ДГ вблизи лазер-отожженных (ЛО)-полос или канавок, создаваемых в ФГ-пленках для стабилизации полосовых доменов при формировании накопительного массива памяти в ВБЛ-устройствах [2]. В этом случае решетка полосовых доменов стабилизируется за счет полей рассеяния, создаваемыми ЛО-полосами или канавками, и практически изначально амплитуды колебаний соседних границ отличаются. На рис. 2 приведены зависимости δ_F от величины поля смещения и амплитуды планарного, переменного поля $\tilde{H}_{\gamma\parallel}$ для двух соседних границ вблизи канавки (ДГ1 и ДГ2). Измерения были выполнены при ширине щели ФЭУ, равной 2.5 мкм (т.е. регистрировались средние значения δ_F в области смещения ДГ), $f_{cm} = 330$ Гц, $f_{\gamma\parallel} = 1$ кГц. Кривые 1–5 были получены для стоящей границы (ДГ2) при $\tilde{H}_{\gamma\parallel} = 30; 31.5; 33; 36; 42; 48$ Э, кривая 6 – для качающейся при $\tilde{H}_{\gamma\parallel} = 0$ границы (ДГ1). Из рисунка видно, что при увеличении амплитуды $\tilde{H}_{\gamma\parallel}$ в 1.5 раза поле старта неподвижной ДГ уменьшается более, чем на порядок. В поле $\tilde{H}_{\gamma\parallel} = 48$ Э амплитуды колебаний соседних границ становятся близкими по величине, о чем свидетельствует практически одинаковый ход кривых 5 и 6 рис. 2. В том же интервале значений $\tilde{H}_{\gamma\parallel}$ поле старта ДГ1 изменяется от 0.2 до 0.1 Э, а амплитуда колебаний почти не изменяется (чтобы не перегружать рисунок, весь набор кривых для этого случая не приведен здесь). Оказалось, что при включении планарного переменного поля $\tilde{H}_{\gamma\perp}$ поле старта и амплитуда колебаний ДГ2 изменяются значительно слабее. Здесь следует также отметить следующий экспериментально установленный факт. При фиксированном значении H_{cm} и включении только планарного переменного поля $H_{\gamma\parallel}$ ($f_{\gamma} > 1$ кГц) амплитуды колебаний всех ДГ увеличиваются.

Объяснить полученные результаты попытаемся, используя существующие представления о внутренней структуре ДГ в ФГ - пленках. Согласно [3, 4], при включении постоянного магнитного поля $H_{\gamma\parallel}$ возможно зарождение 2π -горизонтальных блоховских линий (ГБЛ) с последующим образованием пары ВБЛ. Оценка поля зарождения 2π -ГБЛ показала, что для исследуемых образцов эта величина порядка 4–6 Э. Если теперь предположить, что в исходном состоянии ДГ полосового домена не имела блоховских линий, то при включении $H_{\gamma\parallel}$ соседние ДГ оказываются в разном энергетическом состоянии. При движении в поле H_{CM} граница, блоховская компонента намагниченности которой антипараллельна $H_{\gamma\parallel}$, набивается ВБЛ, и ее подвижность уменьшается. При смене полярности $H_{\gamma\parallel}$ в невыгодном энергетическом состоянии оказывается уже другая ДГ.

В случае постоянного магнитного поля $H_{\gamma\perp}$, рассуждения аналогичны. Однако в этом случае ВБЛ зарождаются в головках полосовых доменов. При движении границы в поле H_{CM} ВБЛ за счет гиротропных сил будут смещаться в ту ДГ, в которой намагниченность ВБЛ совпадает с направлением поля $H_{\gamma\perp}$, что приводит к уменьшению подвижности ДГ. При изменении полярности $H_{\gamma\perp}$ другая ДГ „набивается“ ВБЛ.

Усиление влияния постоянного планарного поля с ростом частоты поля смещения, по-видимому, связано с тем, что при увеличении f_{CM} растет скорость ДГ V_{dr} , а следовательно, возрастает линейная плотность гиротропной силы $F = \pm(2\pi M_s/\gamma)\vec{n} \times \vec{V}_{dr}$ (γ – гиromагнитное отношение, \vec{n} – нормаль к плоскости пленки), действующей на ВБЛ.

Результаты проведенных исследований могут быть полезны разработчикам высокочувствительных магнитооптических датчиков переменных магнитных полей и ВБЛ-устройств.

Список литературы

- [1] Кринчик Г.С., Чепурова Е.Е., Штайна А.В. // ЖЭТФ. 1984. Т. 87. В. 12. С. 2014–23.
- [2] Юрченко С.Е., Чепурова Е.Е., Ходжаев В.Д., Иерусалимов И.П. // Письма в ЖТФ. Т. 15. В. 5. С. 68–73.
- [3] Малоземов А., Слонзуский Дж. // М.: Мир, 1982. 382 с.
- [4] О’Делл Т. Ферромагнитодинамика. М.: Мир, 1983. 254 с.

Поступило в Редакцию
27 марта 1993 г.